

الباب السابع

ذرة الإلكترون الواحد

يتحرك الإلكترون في ذرة الأيدروجين حول النواة في مجال قوة كهربائية F

$$F = -\frac{Ze^2}{r^2} \quad (Z = 1 \text{ for } H_2)$$

إذا كان V هو جهد الإلكترون

$$\therefore F = -\frac{dV}{dr}$$

$$\therefore dV = -F dr = \frac{e^2}{r^2} dr$$

$$\therefore V = -\frac{e^2}{r}$$

حيث r هو بعد الإلكترون عن النواة (ويساوى بالاحداثيات المتعامدة

$(x^2 + y^2 + z^2)^{1/2}$ وتصبح معادلة شرودنجر للكترون ذرة الأيدروجين :

$$\nabla^2 \Psi + \frac{8\pi^2 m}{h^2} (E + e^2 (x^2 + y^2 + z^2)^{1/2}) \Psi = 0$$

يعطى حل هذه المعادلة قيمة الدالة الموجية Ψ بدلالة x, y, z في أي مكان

حول النواة . يكون احتمال وجود الإلكترون كبيرا كلما زادت قيمة $|I\Psi|^2$

ويستخدم عادة لحل المعادلة السابقة الاحداثيات القطبية الكروية r, θ, ϕ

المبينة شكل (٧ - ١) حيث :

$$r = (x^2 + y^2 + z^2)^{1/2}$$

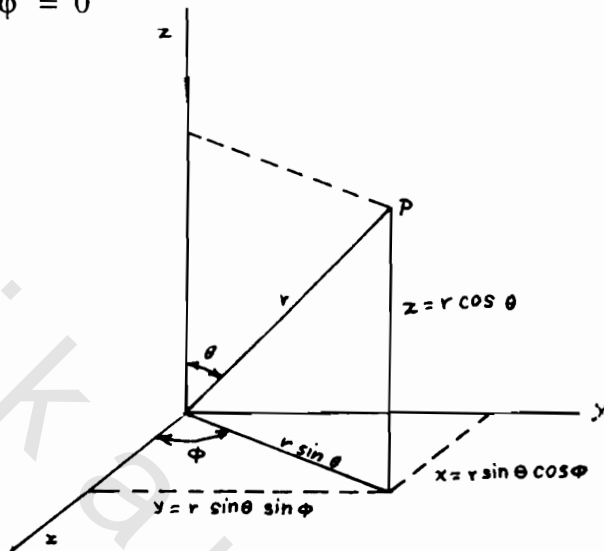
ويستخدم الاحداثيات z, y, x بالاحداثيات القطبية r, θ, ϕ

في معادلة شرودنجر نجدها قد انفصلت إلى ثلاثة معادلات تفاضلية معتادة : —

$$\left\{ \frac{d^2}{dr^2} + \frac{2}{r} \frac{d}{dr} + \frac{8\pi^2 m}{h^2} \left(E + \frac{e^2}{r} \right) - \frac{\lambda}{r^2} \right\} R = 0 \quad (a)$$

$$\left\{ \frac{d^2}{d\theta^2} + \cot \frac{d}{d\theta} + \lambda - \frac{m_l^2}{\sin^2 \theta} \right\} \Theta = 0 \quad \dots\dots (b)$$

$$\left\{ \frac{d^2}{d\phi^2} + m_l^2 \right\} \varphi = 0 \quad \dots\dots (c)$$



شكل (١ - ٧)

حيث λ يسمى Separation parameter عامل الانفصال وحيث الدوال R Θ φ

تبين تغير الدالة الموجية في هذه الاتجاهات r θ ϕ

أولاً : حل المعادلة الثالثة (c) سهل ويعطى دالة جيب أو جيب تمام أى :

$$\varphi = e^{im_l \phi} \cdot \phi$$

ويجب أن يكون m_l صحيحا integer وإلا كانت الدالة الموجية φ متعددة القيمة .

ويسمي m_l بالعدد الكمى المغناطيسي .

ثانياً : قيم المتغير λ التي لا تعطى حلولاً للمعادلة (b) بحيث تكون الدالة الموجية

Θ محدودة ومتصلة وأحادية القيمة هي :

$$\lambda = l(l+1)$$

ويكون بذلك عدد المعاملات التي لا تتوقف على بعضها هي (l+1)

وهذه تناظر القيم المقبولة من العدد الكمى المغناطيسي m_l

ثالثاً : حل المعادلة الأولى (a) يشبه حل بئر الجهد القائم .
أى إننا لا نجد قيماً مقبولة للدالة الموجية إلا إذا خضعت طاقة الإلكترون E للمعادلة :

$$E_n = -\frac{2\pi^2 m e^4}{h^2} \cdot \frac{1}{n^2} \quad n = 1, 2, 3, \dots$$

وهذه هي نفس معادلة الطاقة التي تحصل عليها بوهر من نظريته الخاصة بالمسارات الإلكترونية .

أى أن الميكانيكا الموجية أعطت نفس مستويات الطاقة الإلكترونية ، ولكن لم يعد العدد الكمي النصف قطرى n ، يصف مسار معيناً ، ولكنه يعبر عن كثافة الاحتمال (الاحتمال لوحدة الحجم) لوجود الإلكترونات على أبعاد مختلفة من النواة .

الدالة الموجية للهيدروجين :

يمكن كتابة الدالة الموجية للهيدروجين التي تصف حالته الأولى

$$\Psi_{1st}(r) = \frac{1}{\sqrt{\pi a_0^3}} e^{-r/a_0}$$

حيث a_0 هو نصف قطر بوهر ويعطى بالمعادلة

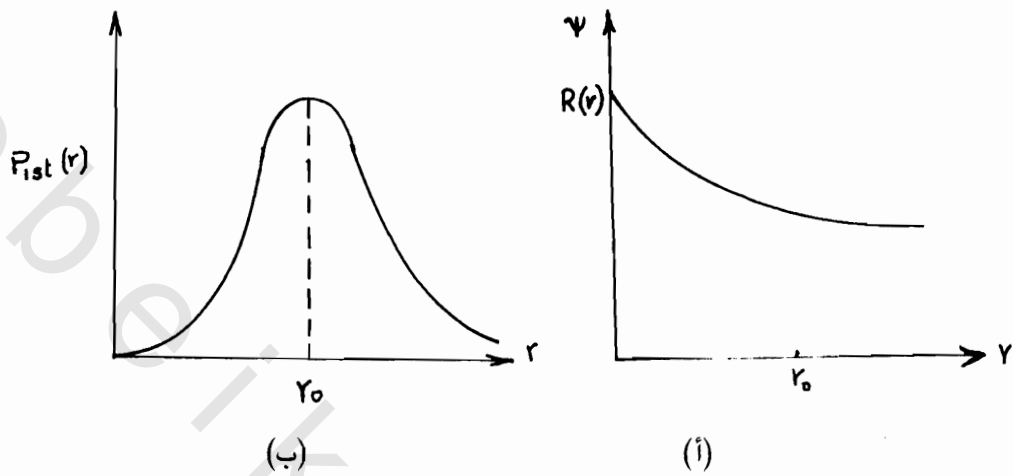
$$a_0 = \frac{(h/2\pi)^2}{mke^2} = 0.0529 \text{ nm}$$

وفي هذه المعادلة k هو ثابت كولوم ويساوي :

$$k = \frac{1}{4\pi\epsilon_0}$$

ويلاحظ أن الدالة الموجية $(r)\Psi_{1st}$ تتناقص مع r وتقترب قيمتها من الصفر عند البعد $r = \infty$ كما مبين بشكل (٧-٢) .

وتعرف كثافة الاحتمال Probability density بأنها الاحتمال لوحدة الحجم لوجود الإلكترون في أي مكان ، وتساوي مربع الدالة الموجية (normalized) أى $|\Psi_{1st}|^2$ ،



شكل (٢ - ٧)

وعلى ذلك تكون كثافة الاحتمال لوجود الإلكترون في المستوى الأول 1s state هو

$$|\Psi_{1\text{st}}|^2 = \left(\frac{1}{\pi a_0^3}\right) e^{-2r/a_0}$$

إذا اعتبرنا الحجم dV تكون كثافة الاحتمال لوجود الإلكترون فيه هو

$$P(r) dr = |\Psi|^2 dV = |\Psi|^2 4\pi r^2 dr$$

وذلك باعتبار قشرة حول النواة تبعد مسافة r من المركز وسمكها dr أى أن كثافة

الإحتمال فى اتجاه نصف القطر r هي :

$$P(r) = 4\pi r^2 \cdot |\Psi|^2$$

وبالتعميض بدلا عن $|\Psi|^2$ نحصل على كثافة الاحتمال النصف قطرى لذرة

الهيدروجين فى حالتها الأرضية

$$P_{1\text{st}}(r) = \left(\frac{4r^2}{a_0^3}\right) e^{-2r/a_0}$$

ويبين الشكل (٧ - ٢ ب) تغير $P_{1\text{st}}(r)$ مع r وقمة المنحنى تبين أكبر احتمال

للبعد r عند حالة معينة .

مثال : أوجد احتمال وجود الإلكترون خارج المسار الأول لبوهر في ذرة الهيدروجين في حالتها الأرضية .

الحل : نوجد الاحتمال بإجراء تكامل لكتافة الاحتمال P_{1st} ابتداء من نصف قطر بoyer a_0 وحتى ملانهاية .

$$P = \int_{a_0}^{\infty} P_{1st}(r) dr = \frac{4}{a_0^3} \int_{a_0}^{\infty} r^2 e^{-2r/a_0} dr$$

ويتغير المتغير r ووضع بدلا منه $x = \frac{2r}{a_0}$ يكون $dr = \left(\frac{a_0}{2}\right) dx$ مع مراعاة أن

$$r = a_0 \text{ عند } x = 2$$

$$\therefore P = \frac{1}{2} \int_2^{\infty} x^2 e^{-x} dx = -\frac{1}{2} (x^2 + 2x + 2)e^{-x} \Big|_2^{\infty}$$

$$\therefore P = 5e^{-2} = 0.677$$

أى أن درجة احتمال وجود الإلكترون خارج المدار الأول هي ٦٧٪ .

الدالة الموجية للمستويات الأعلى من المستوى الأرضي

لكل قيمة من قيم n أى لكل حل من المعادلة (a) يوجد حل أو أكثر للمعادلة (b)

وتوصف هذه الحلول بعدد كمى آخر / يأخذ القيم

$$\ell = 0, 1, 2, \dots, (n-1).$$

ويعين هذا العدد مدى تغير الدالة الموجية ψ مع الزاوية θ عند ثبوت r . فكلما كبرت

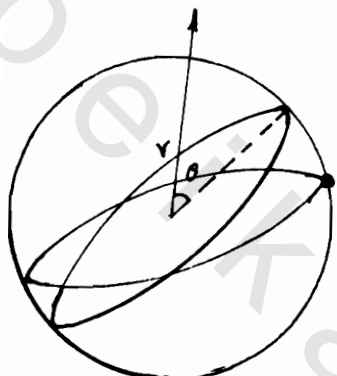
قيمة ℓ تتغير قيمة ψ بسرعة مع الزاوية θ ولذلك فإن احتمال وجود الإلكترون بالقرب من النواة يكون قليلا.

وبالمثل وجد أنه لكل قيمة من قيم ℓ أى لكل حل من حلول المعادلة يوجد حل أو أكثر للمعادلة c . وتعطى هذه الحلول المختلفة بعدد كمى آخر m يمكن أن تأخذ القيم :

$$m_l = -\ell, -(\ell - 1), -(\ell - 2), \dots, 1, 0, 1, \dots, \ell$$

وتصف الدالة الموجية ψ كيفية تغير الدالة الموجية الكلية بتغير الزاوية ϕ

\therefore يمكن وصف الحالة الكمية quantum state للاكترون في الذرة بثلاثة أعداد كمية n, ℓ, m_l ويكون بذلك قد تحدد تماماً تغير الدالة الموجية الكلية من نقطة إلى أخرى في الفراغ.



التعبير الطيفي : spectroscopic notation

تسمى الحالات الإلكترونية المقابلة للأعداد الكمية :

$$\ell = 0, 1, 2, 3$$

بالمستويات f, p, d, s على الترتيب .

فمثلاً :

$$n = 1; \ell = 0 \quad \text{نكمي} s$$

$$n = 3; \ell = 2 \quad \text{نكمي} d$$

شكل (٣ - ٧)

وهكذا

المعنى الطبيعي للأعداد الكمية : m_l, ℓ, n

١ - يحدد العدد الكمي n مستوى الطاقة كما في معادلة بوهر :

$$E_n = -\frac{2\pi^2 m e^4}{n^2 h^2} \quad n = 0, 1, 2, 3, \dots$$

وتحتاج E_n عند ثبوت قيمة n لا يغير من مستوى طاقة المجموعة ، وإن كان

: Degeneracy يسبب تحلل المستوى

orbital angular -

٢ - يحدد العدد الكمي المداري لكمية الحركة الزاوية ℓ

momentum quantum number

كمية الحركة الزاوية L لحركة الجسم حول المركز الجاذب . حيث

$$L = \ell \frac{\hbar}{2\pi}$$

وتأخذ ℓ القيم من 0 إلى $(n - 1)$

٣ - يرتبط العدد الكمي المغناطيسي m بعلاقة متوجه كمية الحركة الزاوية L على المحور

الرأسى z

\therefore مركبة L على الرأسى هي

$$L_z = m, \ell \frac{\hbar}{2\pi}$$

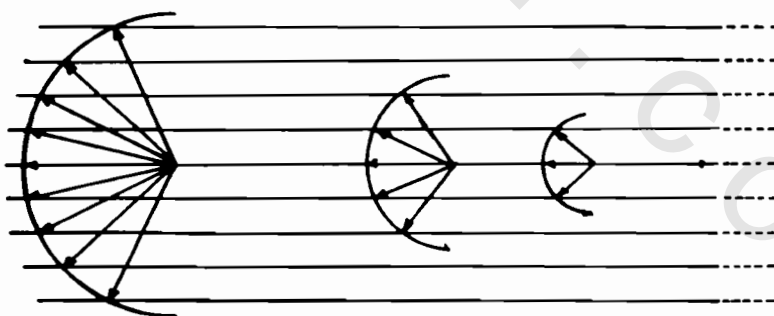
اتجاه متوجه كمية الحركة الزاوية :

من حل معادلة سروينجر نجد أنه عندما تكون قيمة $l = 1$ يمكن لتجه كمية الحركة

الزاوية L أن يأخذ ثلاثة أوضاع في الفراغ تكون مركباتها على محور z هي

$$+ \frac{\hbar}{2\pi}, 0, - \frac{\hbar}{2\pi}$$

انظر الشكل (٤ - ٧)



شكل (٤ - ٧)

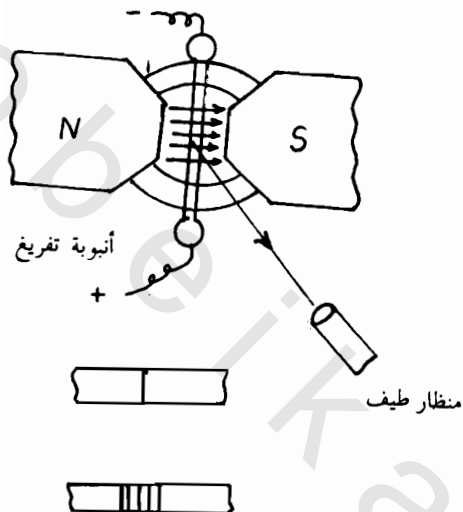
$$m = +1, 0, -1$$

وهذا يعني أن لكل ℓ يوجد $(2\ell+1)$ طريقة لوضع المتجه L في الفراغ وهذا يعني أن هناك أوضاعاً معينة فقط في الفراغ يمكن أن يأخذها وهذه الأوضاع هي فقط

التي يكون فيها مسقط L على الرأسى z عددا صحيحا $0; \pm 1; \pm 2; \dots$

ويسمى ذلك التحديد بكمية الفراغ Space quantization ، وذلك لأن ليس كل اتجاه في الفراغ ممكناً للمتجه L

ولإثبات مبدأ كمية الفراغ نحصل عليه بدراسة تأثير المجال المغناطيسي على خطوط الطيف كما في تأثير زيمان Zeeman's effect



شكل (٧ - ٥)

وضع زيمان أنبوبة تفريغ كهربائى فى مجال مغناطيسي وفحص الضوء بواسطة مطياف له قوة تفريق كبير شكل (٧ - ٥) وجد أن خطوط الطيف قد انقسمت إلى عدة خطوط متقاربة كما وجد أن مقدار الانشطار magnitude of splitting يتوقف على شدة المجال المغناطيسي .

ولتفسير ظاهرة زيمان : Zeeman effect

نفرض إلكترون سرعته v يتحرك في مسار نصف قطره r ، ويعمل عدد من الدورات في الثانية $= \frac{v}{2\pi r}$ هذه الحركة تكافئ تياراً كهربائياً I يمر في اتجاه مسار الإلكترون .

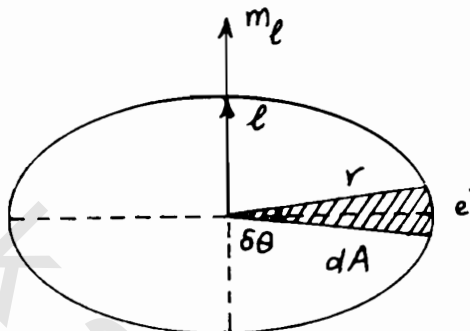
$$\therefore I = \frac{-ev}{2\pi r c} = \frac{-e}{c T} \quad \left(\frac{v}{2\pi r} = \frac{1}{T} \right)$$

فيكون مجال مغناطيسي عمودي على مستوى المسار .

ويمكنا اعتبار وجود مغناطيسي محور عمودي على مستوى المسار عزم المغناطيسي

$$M_r = IA \quad \text{ويعطى نفس التأثير . من شكل (٧ - ٦)}$$

تكون مساحة المسار A تساوى :



شكل (٧ - ٦)

$$A = \int_0^{2\pi} \frac{1}{2} r^2 d\Theta = \int_0^T \frac{1}{2} r^2 \frac{d\Theta}{dt} dt$$

حيث T هو زمن الدورة في المسار .

ولكن كمية الحركة الزاوية $m v r$ تخضع للحداكمي . أى أن :

$$m v r = m r^2 \Theta = \ell \frac{h}{2\pi}$$

\therefore تكون مساحة المسار :

$$A = \int_0^T \frac{\ell h}{4\pi m} dt = \frac{\ell h}{4\pi m} \cdot T .$$

ويكون العزم المغناطيسي المصاحب لحركة الإلكترون

$$\overline{M}_r = -\frac{e}{c \cdot T} \cdot \frac{e h}{4 \pi m} \cdot T$$

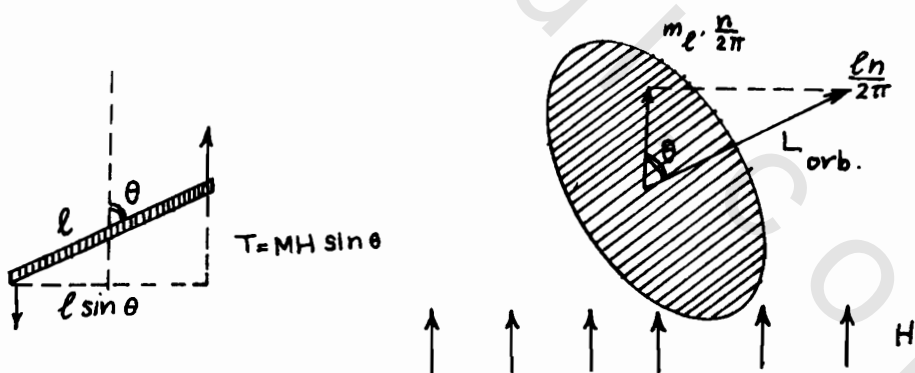
$$\therefore \overrightarrow{M}_r = -\frac{e h}{4 \pi m c} \cdot \overrightarrow{\ell} = -B \cdot \overrightarrow{\ell}$$

حيث B هو بوهر ماجنتون Bohr magneton ، ويساوى العزم المغنتىسى الناتج عن إلكترون يدور فى المسار الأول لذرة الأيدروجين . (وهو وحدة العزم المغنتىسى) كمية حركة الزاوية هي $\frac{h}{2\pi}$.

ولما كان \overrightarrow{M}_r كمية متوجهة عمودية على مستوى المسار ، ولما كانت \overrightarrow{B} مقداراً ثابتاً لذلك يجب أن يكون $\overrightarrow{\ell}$ كمية متوجهة .

طاقة الموضع المغنتىسيّة :

عند التأثير بمجال مغناطىسى خارجي يدور مستوى الملف ، وتتوقف طاقة الموضع المغنتىسيّة على مقدار الميل θ بين اتجاه المجال المغنتىسى والعمودى على مستوى الملف .



شكل (٧ - ٧)

إذا كان T هو الأزياج المؤثر على المغناطيس الجزيئي عندما تؤثر ب المجال المغناطيسي

H

يكون :

$$T = MH \sin \theta$$

حيث θ هي زاوية الميل مع اتجاه المجال : شكل (٧ - ٧)

إذا حركتنا المغناطيس زاوية صغيرة θ يتغير الجهد المغناطيسي بمقدار :

$$dV = T d\theta$$

ويفرض أنتا بدأنا التأثير بالمجال عندما كان محور المغناطيسى الجزيئي متعامداً مع المجال (أى أن مستوى المسار للإلكترون فى اتجاه المجال) يكون الجهد المغناطيسي لإدارة محور المغناطيس ليصنع زاوية θ مع المجال

$$\begin{aligned} V &= \int_{1/2\pi}^{\theta} T d\theta \\ &= \int_{1/2\pi}^{\theta} MH \sin\theta d\theta = -MH \cos\theta \end{aligned}$$

ولكن

$$\cos\theta = m_e \cdot \frac{h}{2\pi} L(\text{orb.})$$

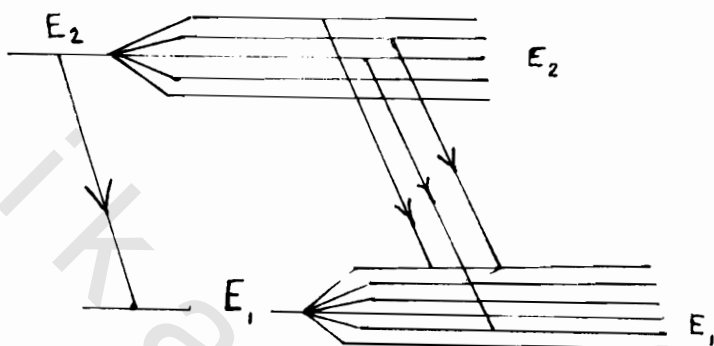
$$\begin{aligned} \therefore V &= -M H m_e \frac{h}{2\pi} L(\text{orb.}) \\ &= + \frac{eh}{4\pi mc} \cdot H \cdot m_e \end{aligned}$$

$$V = B \cdot m_e \cdot H$$

حيث B هو بواهر ماجنتون ، m_e هو العدد الكمى المغناطيسي ، ولما كانت قيم m_e أعداداً صحيحة فقط ، يكون التغير في الجهد المغناطيسي على مراحل ، ولا يكون التغير متصل .

ويتتج عن ذلك ما يأتى :

عند التأثير بمجال مغناطيسى خارجى على الإلكترون فى ذرة ما فإن كل مستوى من مستويات الطاقة يتخلل *degenerates* إلى عدد من المستويات شكل (٨ - ٧) ، مما يتسبب عنها ظهور عدة خطوط طيفية مكان الخط الواحد الذى كان يميز مستوى الطاقة $E_2 - E_1 = hf$ قبل إدخال المجال المغناطيسى .



شكل (٨ - ٧)

وبالرغم من أن هذه النظرية قد فسرت عددا من خطوط الطيف الدقيقة إلا أنها عجزت عن تفسير الجميع ، ولذلك بدأ التفكير في حركة الإلكترون مغزليا بالإضافة لحركته المدارية .

حركة الإلكترون مغزليا Electron spin (لف الإلكترون)

حسب النظرية الكلاسيكية للكهرومغناطيسية ، إذا أديرت كرة عليها شحنة منتiformة فى حركة مغزليه يكون لها عزم مغناطيسى ، إذ يمكن اعتبارها كأنها مغطاة بتيارات كهربائية ، ويكون لها أيضا كمية حركة زاوية بسبب كمية حركة المجال الكهرومغناطيسى المحيط بها . وعلى هذا الأساس فرض أو هلنبا وجود حركة مغزليه للإلكترونات ، أما موازية أو عكس موازية للمجال المغناطيسى . parallel or anti parallel

ويمكن اثبات أن كمية الحركة الزاوية المصاحبة للحركة المغزلية هي :

$$P_s = S \cdot \frac{\hbar}{2\pi}$$

حيث S هو العدد الكمي المغزلي ، ويساوي $1/2 \pm$ ويكون العزم المغناطيسي المصاحب هو :

$$\frac{e\hbar}{2\pi mc} \cdot S$$

وبإدخال العدد الكمي المغزلي تكون حالة الإلكترون قد عينت تماما بأربعة أعداد كمية

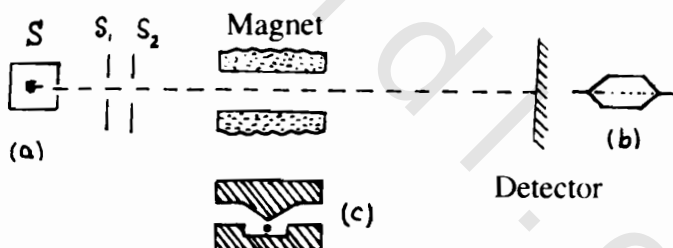
$$n, e, m, S$$

تحقيق وجود الحركة المغزلية للإلكترون عليا :

تجربة شتينن وجيرلاخ Stern & Gerlach

تمرر حزمة من ذرات الفضة المتعادلة ذات الطاقة الواحدة بين قطبي مغناطيسي قوى

مفرق « diverging » غير منتظم ، شكل (٩ - ٧)



شكل (٩ - ٧)

وقد صممت الأقطاب بحيث تحرف الذرات التي تحتوى على عزم مغناطيسي . وقد وجد أن عدد من هذه الذرات قد انحرف إلى أعلى ، بينما انحراف الباقى إلى أسفل ، وظهر الشعاع على حاجز الوميض وكأنه اثنان منفصلان كما وجد أن الإزاحة

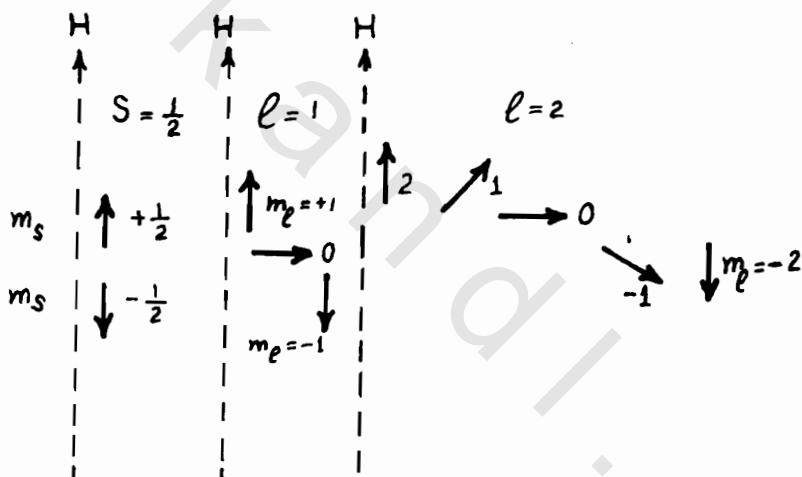
لأعلى تساوى تماماً الازاحة لأسفل .

ولما كانت ذرات الفضة هنا متعادلة ، فإن هذا الانحراف قد نشأ عن الإلكترون الوحيد في المسار الخارجي . single - valence electron . فالتجربة تثبت أن تركيب هذه الإلكترونات ليست واحدة ، بدليل الاختلاف في اتجاه الانحراف .

وبذلك يؤثر المجال المفرق على الإلكترونات بقوة تعتمد في اتجاهها على اتجاه الحركة المغزليّة للإلكترون ، وبالتالي فهو ينحرف إما إلى أعلى أو إلى أسفل .

وقد أمكن إثباتات التجربة أن مركبة الحركة الزاوية المغزليّة للإلكترون في اتجاه المجال

هي :



شكل (١٠ - ٧)

$$P_{SH} = S \frac{h}{2\pi} ; S = \pm 1/2$$

ومن نتائج هذه التجربة أيضاً إثباتات نظرية تكمية الفراغ (شكل ٧ - ١٠) space quantization .

مبدأ باولى : Pauli exclusion principle

تعالج جميع الحالات السابقة حالة جسيم واحد في المجموعة مثلاً إلكترون واحد في مسار حول نواة . ولكن ليست هذه هي الحالة العامة .

في حالة الذرة متعددة الإلكترونات يعالج كل إلكترون على حدة ، ثم تجمع الحلول الحصول على حل عام . وتكون طاقة الذرة هي مجموع طاقات الإلكترون في حالاتها المختلفة . ولما كان هناك عدد من الإلكترونات فقد وجد باولى أنه لا يمكن لأكثر من إلكترون واحد أن يكون على حالة كمية واحدة . أي أنه لا يمكن لأى إلكترونين أن يشتركا في نفس الأعداد الكمية الأربع n, ℓ, m_ℓ, s ، وهذا يعني أن مستوى الطاقة الأول يشغله الكترونان فقط $S = \pm 1/2$ ، وإذا وجد أكثر من إلكترونين في الذرة فإن الثالث يأخذ مكانه في مستوى الطاقة الأعلى ، وبعد أن يتم شغل هذا المستوى أيضاً ننتقل للمستوى التالي وهكذا .

ومن الجدير بالذكر أن مبدأ باولى قد تم اكتشافه قبل تطور ميكانيكا الكم والتي أثبتته فيما بعد .

Shells and subshells :

الجدول الدوري :

The periodic table :

اعتبر ذرة متعادلة بها عدد Z من الإلكترونات في مستويات الطاقة المنخفضة

lowest states

أول إلكترونين يشغلان $S = 1$ وهي الحالة الكمية الأولى التي يعرفها

$(n = 1; \ell = 0; m_\ell = 0, S = \pm 1/2)$

وباعتبار مبدأ بولى لا يجوز أن يتواجد في هذه الحالة أكثر من هذين الإلكترونين .

ولكن يمكن للإلكترونات أن توجد على مستويات الطاقة الأعلى .

$$n > 1$$

تكون الإلكترونات التي يكون لها نفس العدد الكمي n ما يسمى قشرة إلكترونية Shell تنقسم كل قشرة الكترونية shell إلى تحت قشرات subshells حسب قيمة ℓ وعدد الإلكترونات التي توجد في كل subshell تحت قشرة هو $(1 + 2\ell)$

لأن m تأخذ القيم

$$-\ell, -(\ell - 1), \dots, -1, 0, +1, \dots, +\ell$$

وهذه تعطى عدد $(1 + 2\ell)$ قيم m المختلفة لقيم m المختلفة وبما أن في كل حالة قيمة $s = \pm \frac{1}{2}$ ، لذلك تكون عدد الإلكترونات الكلية في الـ (subshell) تحت صدفة هو $2(1 + 2\ell)$

$$<< S = 2 ; p = 6 ; d = 10 ; f = 14 \dots >>$$

أى أن عدد الإلكترونات الكلية الذي يوجد في القشرة shell هو $2n^2$ ونحصل على هذه القيمة بتجميع جميع الإلكترونات الموجودة في sub shells تحت

القشرات لجميع قيم ℓ

$$\begin{aligned} \ell &= n - 1 \\ \therefore N_n &= \sum_{\ell=0}^{n-1} N_{\ell} \\ &= \sum_{\ell=0}^{n-1} 2(1 + 2\ell) = 4 \sum_{0}^{n-1} \ell + 2 \sum_{0}^{n-1} 1 \end{aligned}$$

لكن المتسلسلة

$$\sum_{0}^{n-1} \ell = 0 + 1 + 2 + \dots + (n - 1)$$

وبيما أن عدد المتسلسلة n ومتوسط قيمة الحد $\frac{n-1}{2}$ يكون مجموع المتسلسله هو

$$\sum_{0}^{n-1} \ell = n \left(\frac{n-1}{2} \right)$$

أيضاً

$$\sum_0^{n-1} 1 = n \times 1$$

وبالتعويض في معادلة N_n نحصل على عدد الإلكترونات الذي يملأ القشرة :

$$\therefore N_n = 4 \frac{n(n-1)}{2} + 2n = 2n^2$$

ويبين الجدول الآتي أعداد الإلكترونات في مستويات الطاقة المختلفة :

n	ℓ	m_ℓ	m_s	Number of electrons
1	0	0	$\pm 1/2$	2
	0	0	$\pm 1/2$	2
2	1	1	$\pm 1/2$	
	1	0	$\pm 1/2$	6
	1	-1	$\pm 1/2$	
	0	0	$\pm 1/2$	2
	0	0	$\pm 1/2$	
3	1	1	$\pm 1/2$	
	1	0	$\pm 1/2$	6
	1	-1	$\pm 1/2$	
	2	2	$\pm 1/2$	
	2	1	$\pm 1/2$	
	2	0	$\pm 1/2$	10
	2	-1	$\pm 1/2$	
			$\pm 1/2$	

ويترتيب العناصر حسب أعدادها الذرية ، أي حسب عدد الإلكترونات الموجودة بكل ذرة
نحصل على ما يسمى بالجدول الدوري .

إذا بدأنا بالأيدروجين $1 = Z$ ويشغل الإلكترون الوحيد هنا المستوى الأول $n = 1$
ويكون رمز الإلكترون هو $^1S^1$ ، بالنسبة للهيليوم يوجد الكترونان $^2S^2$ ، ويصبح مستوى
الطاقة الأول $n = 1$ عندئذ مشبعا ، أي لا يقبل أي الكترون أضافي ، ويكون شكل الدالة

الموجية Ψ في هذه الحالة كريا تقربياً ، ولذلك لا يقبل الهيليوم الاتحاد مع أي عنصر آخر (inert gas) وذلك يسمى خاماً . وكذلك الحال كما امتلا أحد مستويات الطاقة عن آخرها فإننا نصل إلى عنصر خامل . العنصر الخامل التالي بعد الهيليوم هو النيون ويحتوى على عشرة إلكترونات لكل ذرة . والتالى هو الأرجون ويحتوى ٢٨ ويطلق عادة على الأغلفة الأولى الحروف

K ; L ; M ; N ;
 (n = 1) (n = 2) (N = 3) (n - 4)

الجدول الدوري

N	M			L		K	
	3d $\ell = 2$	3P $\ell = 1$	3S $\ell = 0$	2P $\ell = 1$	2S $\ell = 0$	1S $\ell = 0$	
First short period					1	1 H	1
					2	2 He	2
					2	2 Li	3
					2	2 Be	4
				1	2	2 B	5
				2	2	2 C	6
				3	2	2 N	7
				4	2	2 O	8
				5	2	2 F	9
				6	2	2 Ne	10
Second short period		1			2	2 Na	11
		2				Mg	12
	1	2				Al	13
	2	2				Si	14
	3	2				P	15
						S	16
						Cl	17
						A	18
					Neon core		

مسائل على لباب السابع

- ١ - أوجد التردد الكلاسيكي للكترون يدور في مسار دائري حول بروتون بدلالة نصف قطر المسار .
- ٢ - عندما يرى خط الصوديوم ($A^{\circ} = 5890 \text{ nm}$) في اتجاه خطوط مجال مغناطيسي شدته ($O_e = 10,000 \text{ G}$) يظهر هناك خطان يفصلها مسافة $d\lambda$. أوجد هذه المسافة .
- ٣ - إذا كان العمر الزمني لذرة مثارة هو $\tau = 10^{-8} \text{ s}$ أوجد أقل تردد للفوتون المنبعث منها باستخدام مبدأ عدم التحديد (اعتبر هذا الزمن هو زمن انبعاث الفوتون ثم أوجد طاقته ومن ثم ترددده)
- ٤ - عندما يتحد الكترون وجسيم الفاء وكلامما في حالة سكون لتكوين أيون هليوم ينبعث فوتون . أوجد الطاقة التي يحملها هذا الفوتون .
- ٥ - إذا علم إن ميزيون باي (meson - π) له نفس شحنة الالكترون ولكن كتلته 275 ضعفا . ولذا فرض أن هذا الميزيون يكون مع بروتون ذرة الهيدروجين . أوجد طاقة المسار ونصف قطره ($n = 1$) .
- ٦ - إذا علم أن طول موجة الخط الأول لطيف ذرة الهيدروجين في سلسلة بالمرهوا 6563 A° وإذا وجد أن الاختلاف في هذا الطول عندما يكون الطيف للهيدروجين الثقيل (ديوتيريوم) هو 1.8 A° . أوجد النسبة بين كتلة ذرة الديوتيريوم ونذرة الهيدروجين .

٧ - أوجد الأعداد الكمية المصاحبة لحالات المكنة لنزرة الهيدروجين التي تقابل العدد الكمي الرئيسي $n = 2$.

٨ - اعتبر الكترون له الأعداد الكمية التالية
 $n = 4$; $\ell = 3$; $m_\ell = 3$

أوجد القيمة العددية لكمية الحركة الزاوية الدارية ومركبتها في اتجاه z

٩ - ينشأ الضوء الأصفر للصوديوم من انتقال الكترون من المستوى $3p$ إلى المستوى $3S$.

أوجد طول موجة الضوء الناتج إذا علم أن فرق مستوى الطاقة هو

$$E_{3p} - E_{3s} = 2.1 \text{ ev}$$